

УДК 621.378.325

**«ЛИНЕЙНЫЙ» ГЕНЕРАТОР  
НА ОСНОВЕ ФОТОРЕФРАКТИВНОГО КРИСТАЛЛА  $\text{Bi}_{12}\text{TiO}_{20}$**

*C. L. Сочава, C. I. Степанов*

Экспериментально исследованы режимы генерации пассивной схемы обращения волнового фронта на основе фоторефрактивного кристалла с внешним линейным резонатором. Измерения выполнялись с образцом кубического кристалла  $\text{Bi}_{12}\text{TiO}_{20}$  на длине волны гелий-неонового лазера ( $\lambda = 0.63 \text{ мкм}$ ). Наблюдались хаотическая смена поперечных мод и квазипериодические пульсации интенсивности генерируемого в схеме пучка. Предложена теоретическая модель, объясняющая наблюдаемые пульсации биением нескольких мод резонатора, затянутых фоторефрактивным кристаллом в ближайшую окрестность моды накачки.

1. Кубический кристалл  $\text{Bi}_{12}\text{TiO}_{20}$  (ВТО) со структурой силикосилленита в настоящее время представляется одним из наиболее удобных объектов для исследования физики генераторов на основе фоторефрактивных кристаллов (см., например, [1]). Действительно, он технологичен, не требует монодоменизации и позволяет осуществлять высокоеффективную запись фазовых голограмм

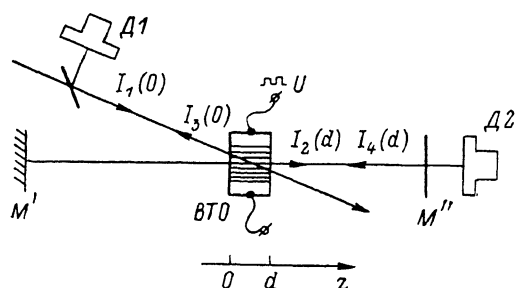


Рис. 1. Геометрия линейного генератора.

смещенного типа во внешнем знакопеременном поле на длине волны гелий-неонового лазера ( $\lambda = 0.63 \text{ мкм}$ ) [2]. Ранее в литературе сообщалось о наблюдении генерации в ВТО в схеме без внешнего резонатора [3] и в схеме кольцевого генератора [4]. В данной работе нами впервые представлены результаты по наблюдению генерации в кристалле ВТО, помещенном во внешний резонатор Фабри-Перо (так называемая схема «линейного» генератора; рис. 1).

2. Эксперименты выполнялись на образцах ВТО толщиной  $d \approx 6 \text{ мм}$ , вырезанных в плоскости (110) таким образом, что ось [111] лежала в плоскости падения [5]. Внешнее знакопеременное поле амплитуды  $E$  с формой меандра [2] и частотой  $f \approx 70 \text{ Гц}$  прикладывалось к образцу в плоскости падения. Источником излучения служил стандартный Не—Не лазер ЛГ-52-2 ( $\lambda = 0.63 \text{ мкм}$ ) мощностью  $P \approx 3 \text{ мВт}$ . Исходно вертикальная поляризация излучения лазера преобразовывалась в горизонтальную при помощи системы призм. Образец помещался в резонатор от идентичного лазера ЛГ-52-2 с расстоянием между зеркалами  $M'$  и  $M''$   $L \approx 60 \text{ см}$  и коэффициентами отражения  $R' \approx 99.8\%$ ,  $R'' \approx 98\%$ .

При достижении некоторого порогового значения амплитуды внешнего поля  $E^{\text{пор}}$  в схеме развивалась генерация, обусловленная двухволновым взаимодействием пучка накачки  $I_1$  с «прямой» волной  $I_2$  [6–9] (ввиду низкой дифракционной эффективности записываемой голограммы и больших потерь на гранях и в объеме образца  $I_4(d) \ll I_1(0)$ , поэтому эффектами, связанными с четырехвольновым взаимодействием, можно пренебречь). Интенсивность пучка  $I_2(d)$ , выводимого через зеркало  $M''$ , за пределами резонатора составляла  $\sim 0.2\%$  от интенсивности пучка накачки. Это позволяет оценить дифракционную эффективность

твность записываемой голограммы ( $\eta = I_2(d)/[I_1(d) + I_2(d)]$ ) как  $\eta \approx 18\%$ . Интенсивность встречного пучка  $I_3(0)$  достигала  $\sim 1\%$  от интенсивности пучка накачки  $I_1(0)$ .

Зависимость коэффициента отражения  $R = I_3(0)/I_1(0)$  от амплитуды внешнего поля  $E$  (рис. 2) носила явно выраженный пороговый характер. Необходимо отметить, что наличие порогового значения амплитуды внешнего поля  $E^{\text{пор}}$  в данной схеме в отличие от схемы кольцевого генератора, рассмотренной в [4, 10, 11], обусловлено лишь потерями внутри резонатора и теоретически может быть сделано сколь угодно малым. Вместе с этим используемое в данной работе внешнее знакоизмененное электрическое поле обуславливает (вследствие электрооптического эффекта) периодическую модуляцию оптической длины резонатора. Это приводит в общем случае к периодическому смещению интерференционной картины, образованной пучками  $I_1$  и  $I_2$ , и, следовательно, к снижению эффективности соответствующего процесса двухволнового взаимодействия в объеме кристалла. Положение максимумов на кривой  $R(E)$  соответствует напряженностям внешнего поля, при которых скачок величины фазового набега за полный проход резонатора, вызванный сменой полярности внешнего поля, составляет  $2\pi k$  (где  $k$  — целое число). При этом в течение обоих полупериодов внешнего поля интерференционная картина остается неподвижной, обеспечивая тем самым максимальную эффективность записи динамической голограммы.

Характерное время нарастания интенсивности генерации составляло  $\sim 10$  с. После возникновения генерации интенсивность, однако, не устанавливалась

постоянной, а продолжала меняться, как это наблюдалось также в [7-9]. Во-первых, происходила хаотическая смена поперечных мод (рис. 3), вызывающая изменение интенсивности генерируемого резонатором пучка  $I_2(d)$ . Во-вторых, наблюдались квазипериодические пульсации интенсивности в течение генерации одной поперечной моды (рис. 4). Характерная частота этих пульсаций практически линейно зависела от интенсивности пучка накачки (рис. 5) и незначительно менялась от одной поперечной моды к другой. Аналогичным образом изменялись во времени интенсивность и форма волнового фронта отраженного светового пучка  $I_3(0)$ .

3. Наблюдаемые явления могут быть объяснены следующим образом. В общем случае собственные частоты резонатора  $\omega_c^k$  не совпадают с частотами продольных мод лазера накачки  $\omega_p^i$  и фазовое условие генерации на частотах накачки, естественно, оказывается невыполненным. Генерация, однако, оказывается возможной на частотах  $\omega^k$ , смещенных относительно соответствующих частот накачки на малую величину  $\delta^{ki} = (\omega^k - \omega_p^i)$ .

Действительно, двухволновый процесс взаимодействия слабого сигнального пучка накачки  $\omega_p$  на динамической фазовой голограмме смещенного типа описывается выражением (см., например, [7])

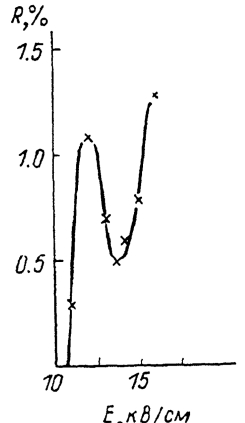


Рис. 2. Зависимость коэффициента отражения  $R = I_3(0)/I_1(0)$  от амплитуды внешнего поля (ВТО,  $\lambda = 0.63$  мкм,  $\Delta^{-1} \approx 170$  мм $^{-1}$ ).

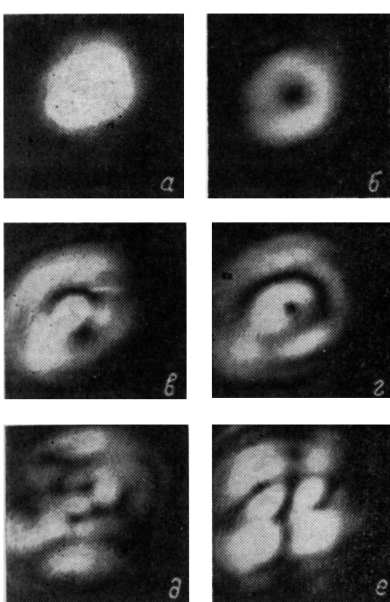


Рис. 3. Поперечное сечение генерируемого в резонаторе пучка  $I_2$ . а — основная («нулевая») поперечная мода, б — «первая» мода, в—е — «высшие» моды.

$\omega^k$  с монохроматическим пучком на динамической фазовой голограмме смещенного типа описывается выражением (см., например, [7])

$$S_2(d) = S_2(0) \exp \left[ \frac{\gamma d}{1 + i(\omega^k - \omega_p) \tau_{sc}} \right]. \quad (1)$$

Здесь  $S_2$  — комплексная амплитуда слабого сигнального пучка  $I_2$ ;  $\gamma$  — константа двухволнового взаимодействия;  $\tau_{sc}$  — характерное время формирования голограммы в используемом фотопрерывательном кристалле. В результате

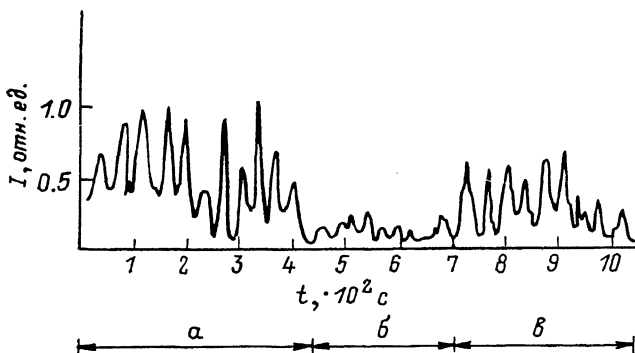


Рис. 4. Пульсации интенсивности генерируемого пучка  $I_2$  (ВТО,  $\lambda=0.63$  мкм,  $\Lambda^{-1} \approx 170$  мм $^{-1}$ ,  $E=12$  кВ/см).

*a* — основная поперечная мода, *b* — «высшая», *c* — «первая».

условие возникновения генерации в рассматриваемой схеме имеет следующий вид:

$$\exp \left[ \frac{\gamma d}{1 + i(\omega^k - \omega_p) \tau_{sc}} \right] R \exp \left[ i \frac{\omega^k \cdot 2L}{c} \right] = 1, \quad (2)$$

где  $L$  — оптическая длина резонатора;  $R$  — коэффициент, характеризующий суммарные потери света за один обход резонатора. Таким образом, частоты  $\omega^k$ , на которых возможна генерация, должны удовлетворять условию

$$\frac{\gamma d (\omega^k - \omega_p) \tau_{sc}}{1 + (\omega^k - \omega_p)^2 \tau_{sc}^2} = \frac{(\omega^k - \omega_p) \cdot 2L}{c}. \quad (3)$$

Взяв модуль (2), можно определить пороговое значение  $\gamma^k$  для каждой из генерируемых мод  $\omega^k$

$$\frac{\gamma^k d}{1 + \delta^{k^2} \tau_{sc}^2} = -\ln R. \quad (4)$$

Из последнего условия следует, что эффективная ширина линии усиления ФРК составляет величину  $\delta_{\max} \approx \tau_{sc}^{-1}$ . Это позволяет оценить с учетом (3) полное число генерируемых мод

$$N \approx \gamma d. \quad (5)$$

Рис. 5. Зависимость частоты пульсаций интенсивности генерируемого пучка  $I_2$  от интенсивности пучка накачки  $I_1$  (ВТО,  $\lambda=0.63$  мкм,  $\Lambda^{-1} \approx 170$  мм $^{-1}$ ,  $I_{\max}=3$  мВт.).

естественно, из-за того, что коэффициент усиления рассматриваемых фотопрерывательных сред очень велик, что может обеспечить значительное (до  $10^2$ — $10^4$ ) усиление интенсивности света за один проход. С учетом наличия нескольких продольных мод накачки генерируемая в резонаторе волна представляет собой несколько эквивалентных серий близко расположенных линий, отстоящих одна от другой на величину межмодового расстояния лазера накачки.

Можно сказать, что частота накачки  $\omega_p$  «затягивает» в свою ближайшую окрестность несколько рядом расположенных мод резонатора. Происходит это,

4. В нашем конкретном случае при напряженности внешнего поля  $E=12$  кВ/см (первый максимум на кривой  $R(E)$ )  $\gamma d \approx 3$ . Таким образом, в окрестности каждой из продольных мод накачки одновременно могут генерироваться около трех (вообще говоря, неэквидистантных) мод с характерным межмодовым расстоянием порядка

$$\delta \approx \frac{1}{\tau_{sc}} \frac{1}{\gamma d}, \quad (6)$$

что составляет при  $\tau_{sc} \approx 1$  с (измерено в эксперименте по двухволновому взаимодействию),  $E \approx 12$  кВ/см частоту межмодовых биений  $\delta/2\pi \approx 5 \cdot 10^{-2}$  Гц.

Зависимость (6) с учетом пропорциональности  $\tau_{sc} \sim 1/I_p$  объясняет линейный рост частоты пульсаций генерируемого пучка с ростом интенсивности накачки. Уменьшение  $\gamma$  (путем уменьшения амплитуды внешнего поля) приводило к увеличению амплитуды пульсаций выходного пучка  $I_2(d)$  ( $I_2^{(iii)}(d) \approx I_2^{\max}(d)$ ), что свидетельствовало, по-видимому, о затягивании лишь двух мод резонатора в каждую моду накачки. Одномодового режима генерации, когда каждой моде накачке отвечает одна генерируемая частота и в выходном сигнале отсутствуют биения, в данных экспериментах нами не наблюдалось. Возможно, это связано с несогласованностью требований на величину внешнего поля, при котором достигается необходимый коэффициент усиления  $\gamma \approx d^{-1}$  (5) и выполняется условие неизменности оптической длины резонатора (рис. 2).

Хаотическая смена поперечных мод объясняется, по-видимому, флуктуациями частоты накачки, которая то оказывается ближе к продольной моде резонатора, то к одной из его поперечных мод. Изменение средней интенсивности генерации при переходе от одной поперечной моды к другой (рис. 4) может быть объяснено различием в интегралах перекрытия соответствующих мод с гауссовским пучком накачки, а также различием в межмодовом расстоянии для поперечных мод данного типа и продольных мод накачки.

### Литература

- [1] White J. O., Cronin-Golomb M., Fischer B., Yariv A. Appl. Phys. Lett., 1982, v. 40, N 6, p. 450—451.
- [2] Stepanov S. I., Petrov M. P. Opt. Comm., 1985, v. 53, N 5, p. 292—295.
- [3] Степанов С. И., Петров М. П., Красинькова М. В. ЖТФ, 1984, т. 54, № 6, с. 1223—1225.
- [4] Сочава С. Л., Степанов С. И., Петров М. П. Письма в ЖТФ, 1987, т. 13, № 11, с. 660—664.
- [5] Степанов С. И., Шандаров С. М., Хатыков Н. Д. ФТТ, 1987, т. 29, № 10, с. 3054—3058.
- [6] Feinberg J. Opt. Lett., 1982, v. 7, N 10, p. 486—488.
- [7] Kwong S. K., Yariv A., Cronin-Golomb M., Ury I. Appl. Phys. Lett., 1985, v. 47, N 5, p. 460—462.
- [8] Raibenbach H., Huignard J. P. Opt. Lett., 1984, v. 10, N 3, p. 137—139.
- [9] Gunter P., Voit E., Zha M. Z. Opt. Comm., 1985, v. 55, N 3, p. 210—214.
- [10] Cronin-Golomb M., Fischer B., White J. O., Yariv A. Appl. Phys. Lett., 1983, v. 42, N 11, p. 919—921.
- [11] Cronin-Golomb M., Paslaski J., Yariv A. Appl. Phys. Lett., 1985, v. 47, N 11, p. 1131—1133.

Физико-технический институт  
им. А. Ф. Иоффе  
АН СССР  
Ленинград

Поступило в Редакцию  
15 ноября 1987 г.